

Approche probabiliste pour la commande orientée événement des systèmes stochastiques à commutation

Simona Adriana MIHĂIȚĂ

Directeurs de thèse

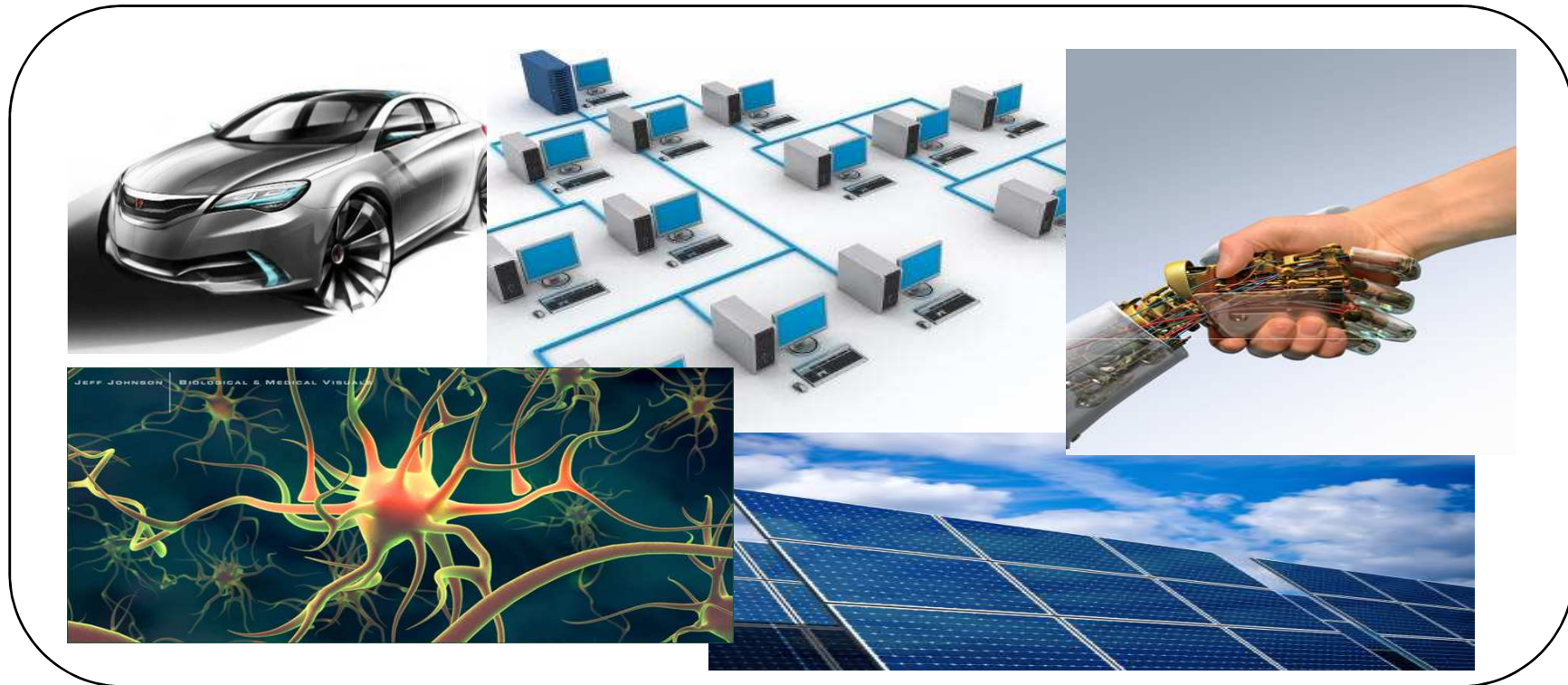
Stéphane MOCANU

Hassane ALLA

GIPSA-lab, Département Automatique, Grenoble, France

Description du problème

Systemes stochastiques à commutation (SSC)

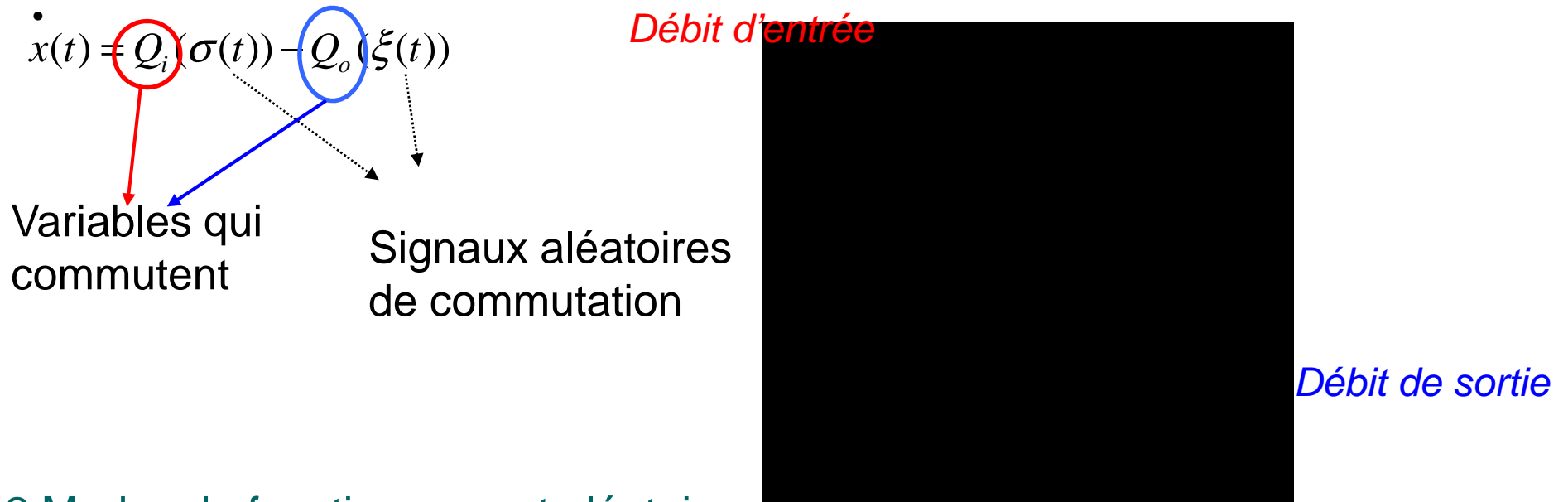


- Changements brusques de comportement
- Défaillances de composants
- Commutations entre divers modes de fonctionnement

➔ **Evénements aléatoires**

Exemple introductif

Réservoir d'eau



2 Modes de fonctionnement aléatoires

- a) Forte consommation d'eau $Q_i(t) - Q_o(t) < 0$
- b) Faible consommation d'eau $Q_i(t) - Q_o(t) > 0$

Exemple introductif

Réservoir d'eau

Politique de contrôle $x(t) \in [X_{\min}, X_{\max}]$

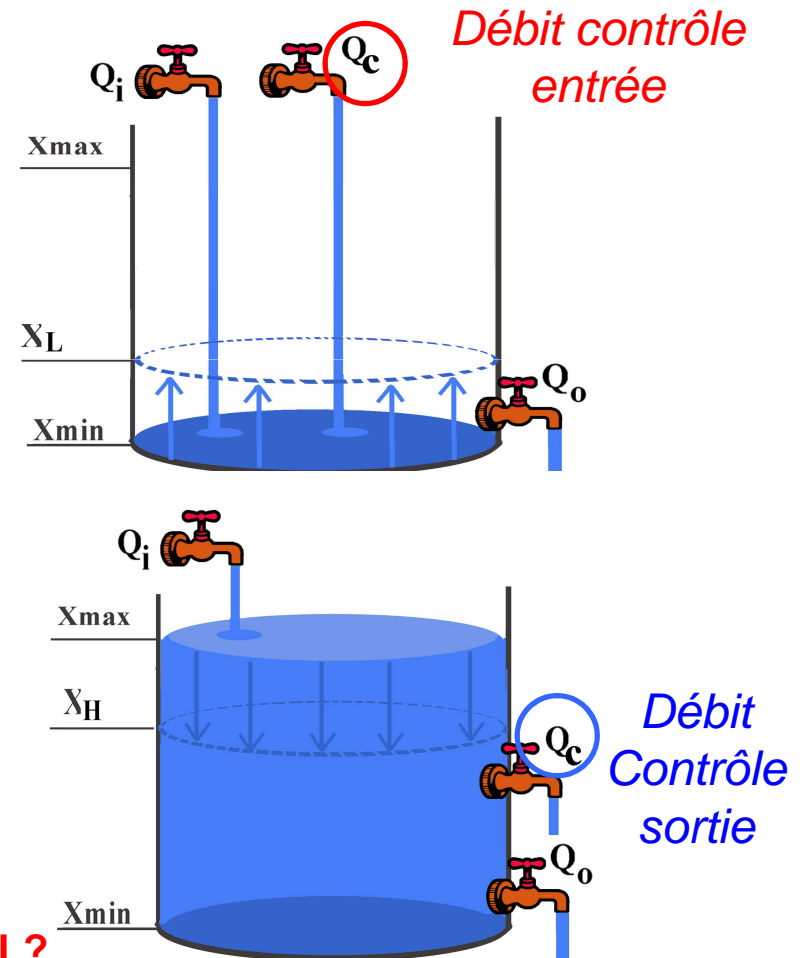
Sporadique = pas de contrôle entre $[X_L, X_H]$

a) Forte consommation d'eau $x(t) = X_{\min}$

$$\dot{x}(t) = Q_i(t) - Q_o(t) + \underbrace{Q_{co}}(t) > 0$$

b) Faible consommation d'eau $x(t) = X_{\max}$

$$\dot{x}(t) = Q_i(t) - Q_o(t) - \underbrace{Q_{co}}(t) < 0$$



Comment appliquer le contrôle avec un coût minimal ?

Description du problème

Systèmes stochastiques à commutation (SSC)

Que sont les SSC ?

- systèmes dynamiques hybrides
- systèmes qui commutent en fonction des événements externes
- commutations modélisées par des Chaînes de Markov

Problèmes :

- **Comment analyser la dynamique d'un tel système stochastique ?**
- **Comment appliquer un contrôle qui commute pour ces SSC?**

Description du problème

Contrôle basé sur les événements (CBE)

Pourquoi?

- Il est appliqué seulement si c'est nécessaire
- Il simplifie le système des capteurs
- Il est naturel dans plusieurs domaines

Comment ?

- Définir les événements déclenchants
- Définir une zone de contrôle B
- Appliquer le contrôle quand certaines conditions sont remplies
- Continuer appliquer le contrôle afin que $x(t) \in B$

Problématique

Contrôle basé sur les événements (CBE)

Pourquoi est-ce difficile ?

- Manque des résultats analytiques
- Comment définir les événements déclenchants?
- Comment définir la zone de contrôle $B = ?$
- Comment appliquer le contrôle avec une énergie minimale ?
- ***$x(t)$ est un processus périodique avec une période aléatoire***

Plan

- 1. Intégrateur stochastique à commutation**
- 2. Optimisation par simulation à événements discrets**
- 3. Modèle analytique**
- 4. Résultats**
- 5. Conclusions et perspectives**

Plan

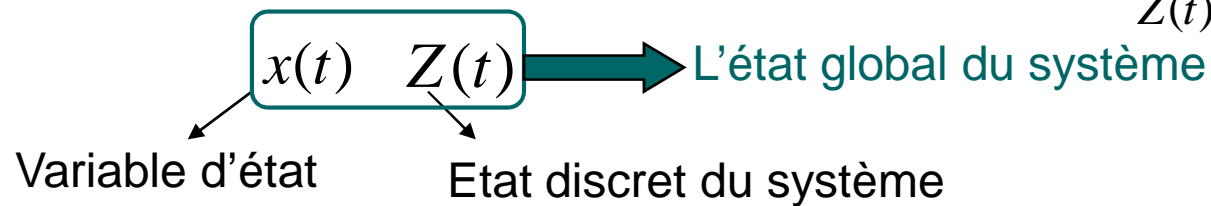
- 1. Intégrateur stochastique à commutations**
 - Modèle non contrôlé
 - Modèle avec contrôle
2. Optimisation par simulation à événements discrets
3. Modèle analytique
4. Résultats
5. Conclusions et perspectives

1.1 - Intégrateur stochastique à commutation (ISC)

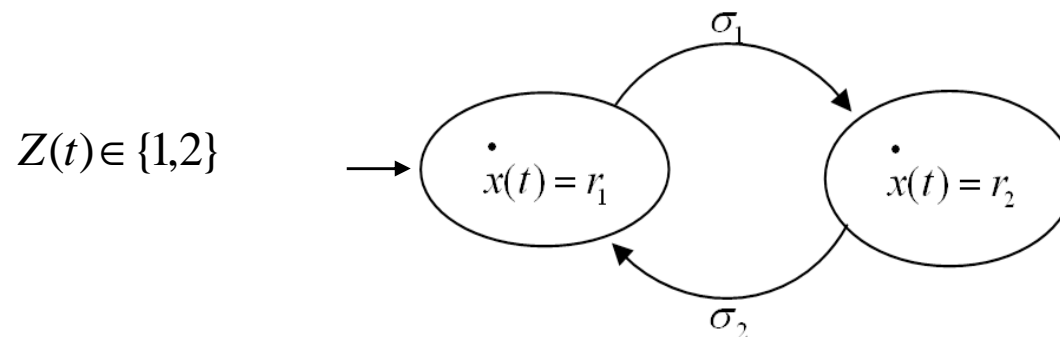
Modèle non – contrôlé :

$$\begin{cases} \dot{x}(t) = r_{Z(t)} \\ x(0) = x_0 \end{cases} \longrightarrow \text{Chaîne de Markov en temps Continu} \longrightarrow \text{Changement entre les N modes du système}$$

$$Z(t) \in \{1, 2, \dots, N\}$$

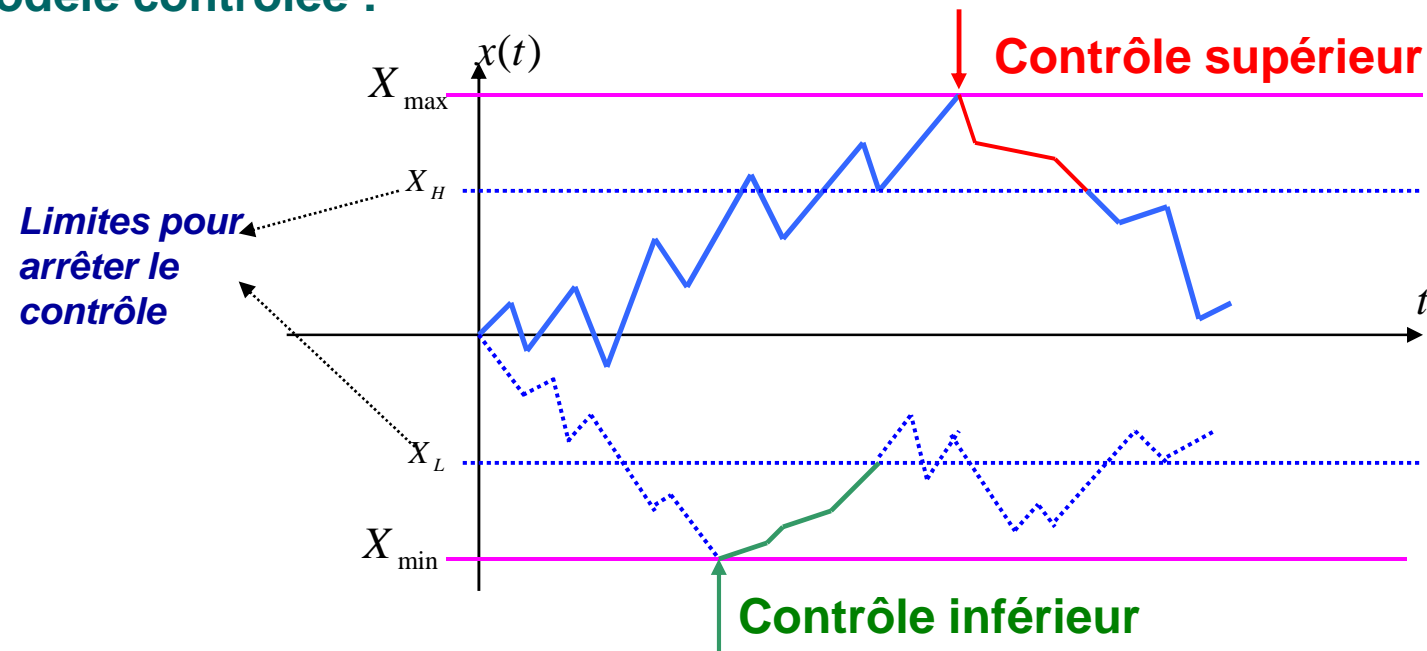


Taux de variation associés aux modes : $\begin{cases} r_i > 0, \forall i \in \{1, 2, \dots, k\} \\ r_j < 0, \forall j \in \{k + 1, \dots, N\} \end{cases}$



1.2 - Intégrateur stochastique à commutation (ISC)

Modèle contrôlée :



Objectif: $x(t) \in [X_{\min}, X_{\max}]$

Système contrôlé :

$$\begin{cases} \dot{x}(t) = r_{Z(t)} + u_{Z(t)}(x(t)) \\ x(0) = x_0 \end{cases}$$

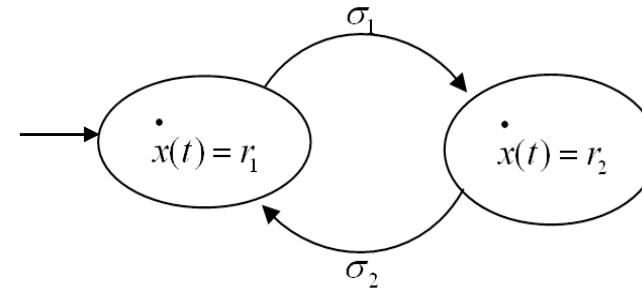
$u_{Z(t)}(x(t))$ sera appliqué de sorte que

$$\begin{cases} r_{Z(t)} + u_{Z(t)}(x(t)) < 0, & \text{si } x(t) = X_{\max} \\ r_{Z(t)} + u_{Z(t)}(x(t)) > 0, & \text{si } x(t) = X_{\min} \end{cases}$$

1.3 – Intégrateur stochastique à commutation à deux états

Non-contrôlé :

$$\begin{cases} \dot{x}(t) = r_{Z(t)} & Z(t) \in \{1,2\} \\ x(0) = x_0 \end{cases}$$



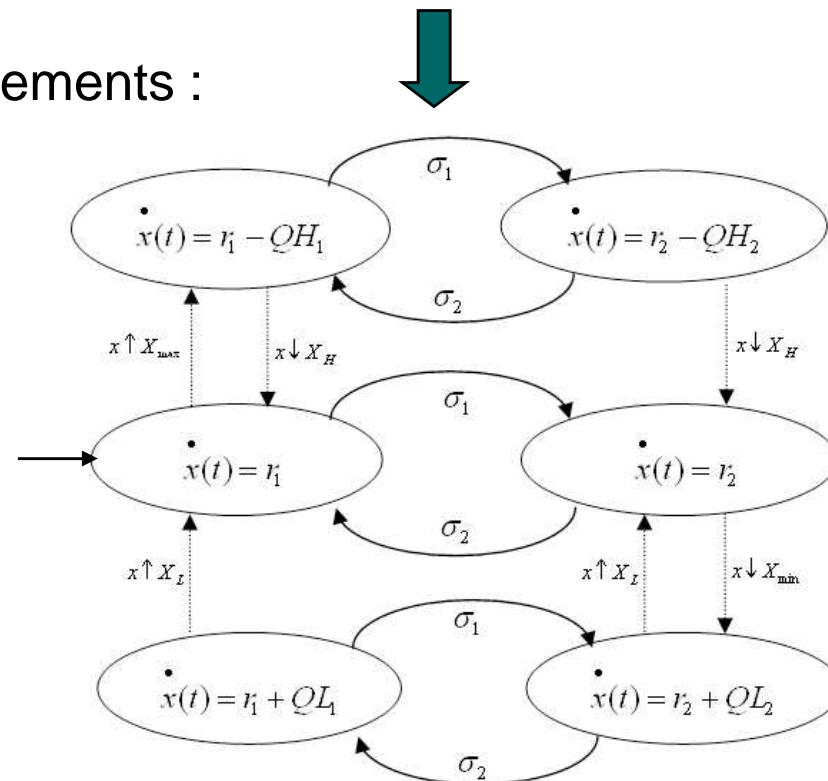
Avec le contrôle basé sur les événements :

$$\begin{cases} \dot{x}(t) = r_{Z(t)} + u_{Z(t)}(x(t)) \\ x(0) = x_0 \end{cases}$$

QH_1, QH_2, QL_1, QL_2

Seront choisis de sorte que :

$$\begin{cases} r_i - QH_i < 0 \\ r_j + QL_j > 0, i, j \in \{1,2\} \end{cases}$$



Plan

1. Intégrateur stochastique à commutations
- 2. Optimisation par simulation à événements discrets**
 - Principes
 - Application numérique
3. Modèle analytique
4. Résultats
5. Conclusions et perspectives

2.3 – Optimisation d'un critère quadratique par simulation

- Intégrateur à commutation à deux états
- Fixer une zone de contrôle : $[X_{\min}, X_{\max}]$
- Varier les paramètres du contrôle : $\{QH_1, QH_2, QL_1, QL_2\}$
- Varier les limites pour arrêter le contrôle : $\{XH, XL\}$
- Chercher les paramètres optimaux qui minimisent le coût quadratique :

$$J = \lim_{T_f \rightarrow \infty} \left(\frac{1}{T_f} E \left[\underbrace{\int_0^{T_f} [q \cdot x^2(t)] dt}_{\text{Moment d'ordre 2 de la variable d'état}} + \underbrace{r \cdot u^2(t)}_{\text{Energie consommée pour appliquer le contrôle}} \right] \right), \quad q, r > 0$$

Moment d'ordre 2 de la variable d'état

Energie consommée pour appliquer le contrôle

On minimise la moyenne statistique de l'énergie par unité de temps

2.1 - Optimisation par simulation à événements discrets

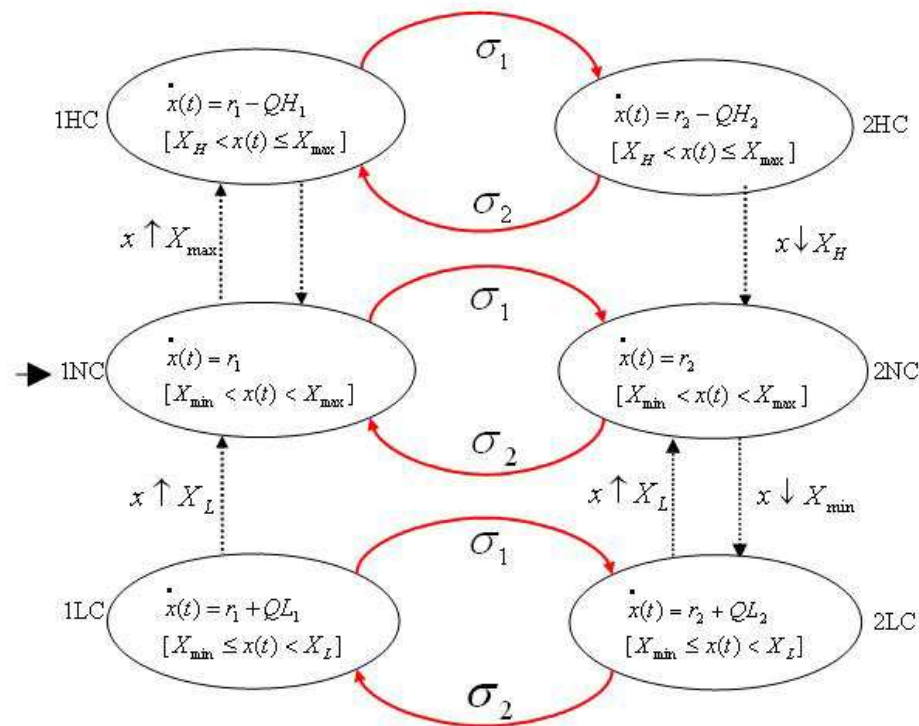
1. Initialiser les paramètres du système :

- Le nombre d'états : N
- La longueur de la simulation : T_f
- Les paramètres du contrôle : (QH_i, QL_j) , $i, j \in \{1, \dots, N\}$
- La liste des événements suivants :
 - **Événements incontrôlables de la chaîne de Markov** $\{\sigma_s\}$
 - **Événements de contrôle** $\{NH_{ss}, HN_{ss}, NL_{ss}, LN_{ss}\}$
- Les périodes d'occurrence associés aux événements

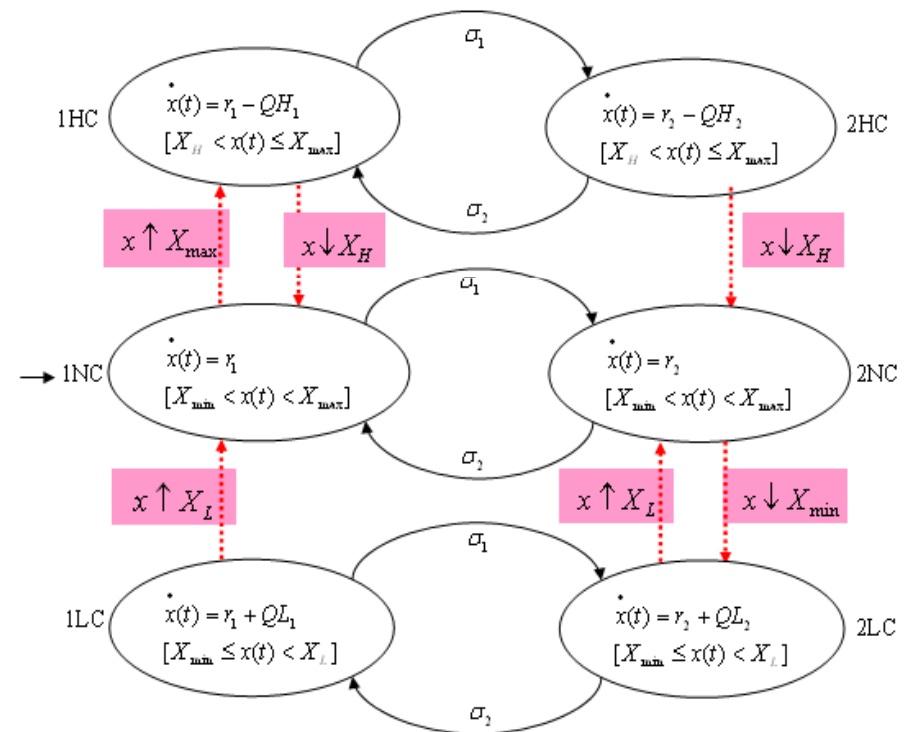
$$\{T_{\sigma_s}, T_{NH_{ss}}, T_{HN_{ss}}, T_{NL_{ss}}, T_{LN_{ss}}\}$$

2.1 - Optimisation par simulation à événements discrets

Evénements incontrôlables de la Chaîne de Markov



Evénements de contrôle



2.1 - Optimisation par simulation à événements discrets

2. Choisir le prochain événement :

$$\Delta t = \min\{T_{\sigma_s}, T_{NH_{ss}}, T_{HN_{ss}}, T_{NL_{ss}}, T_{LN_{ss}}\}$$

$Next_{ev}$ = prochain événement possible correspondant à Δt

$$Next_{ev} \in \{\{\sigma_s\}, \{NH_{ss}\}, \{HN_{ss}\}, \{NL_{ss}\}, \{LN_{ss}\}\}$$

3. Analyser l'événement suivant:

Cas $Next_{ev} = \{\sigma_s\}$:

- Commuter vers un autre état
- Calculer les prochains temps d'occurrence

Cas $Next_{ev} = \{HN_{ss}\}$:

- **Appliquer le contrôle**
- Commuter vers un autre état
- Calculer les prochains temps d'occurrence

.....

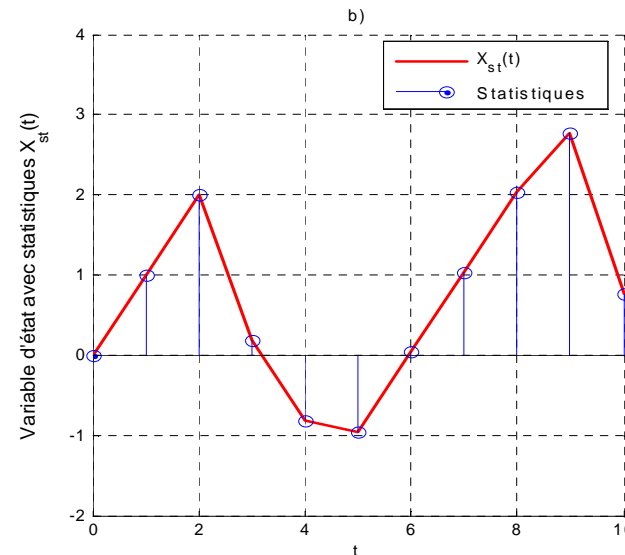
4. Mise à jour du système :

- Avancer la simulation : $T_{sim} = T_{sim} + \Delta t$
- Mise à jour de $x(t)$
- Calcul de l'énergie consommée

2.1 - Optimisation par simulation à événements discrets

5. Statistiques :

(calculer $x(t)$ à certains points réguliers avec une certaine fréquence)



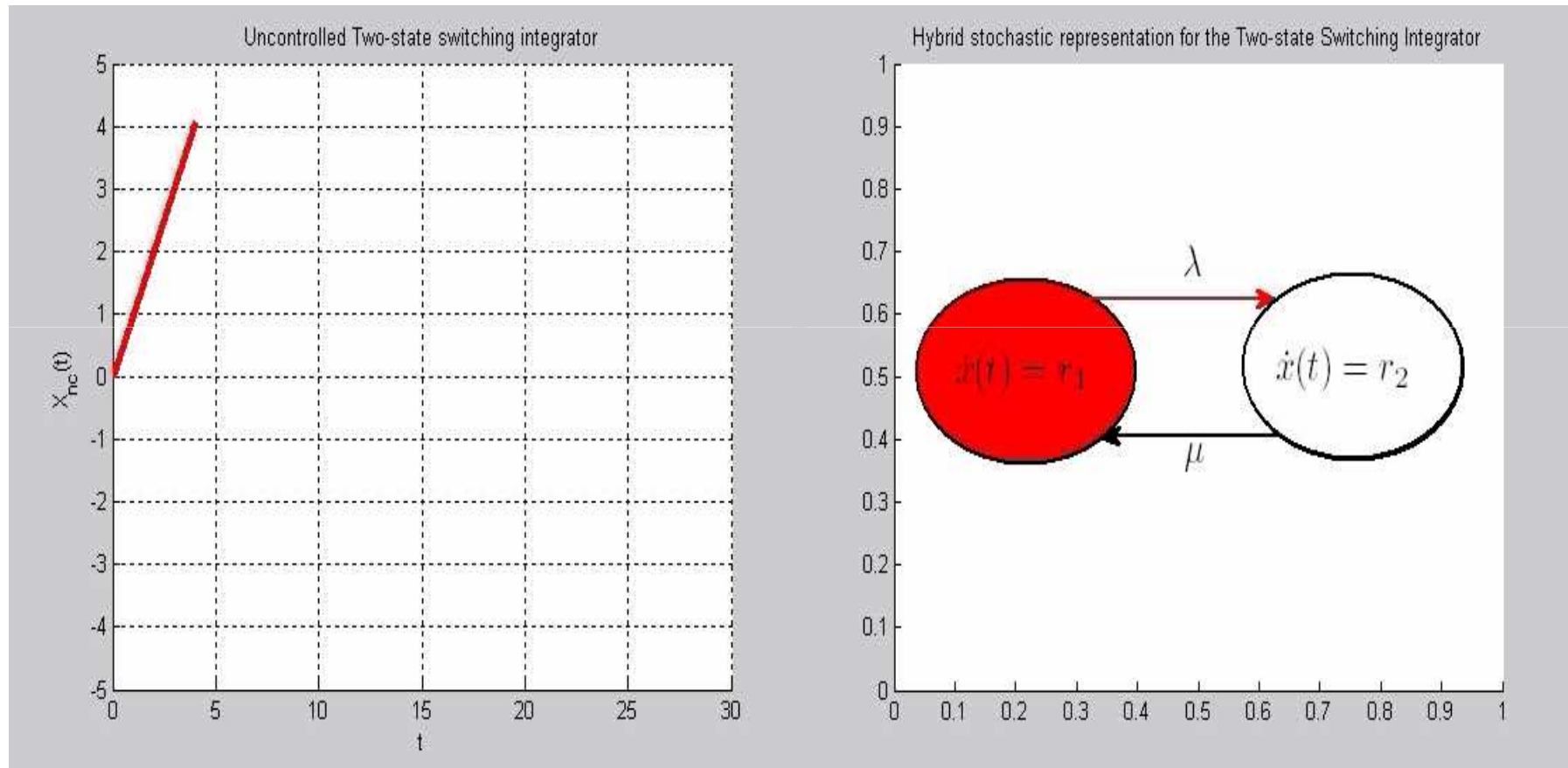
6. Fin simulation

(calcul des mesures de sortie) :

- la moyenne de la variable d'état
- l'énergie totale consommée pour appliquer le contrôle
- etc.

2.2 – Exemples de Simulation événementielle

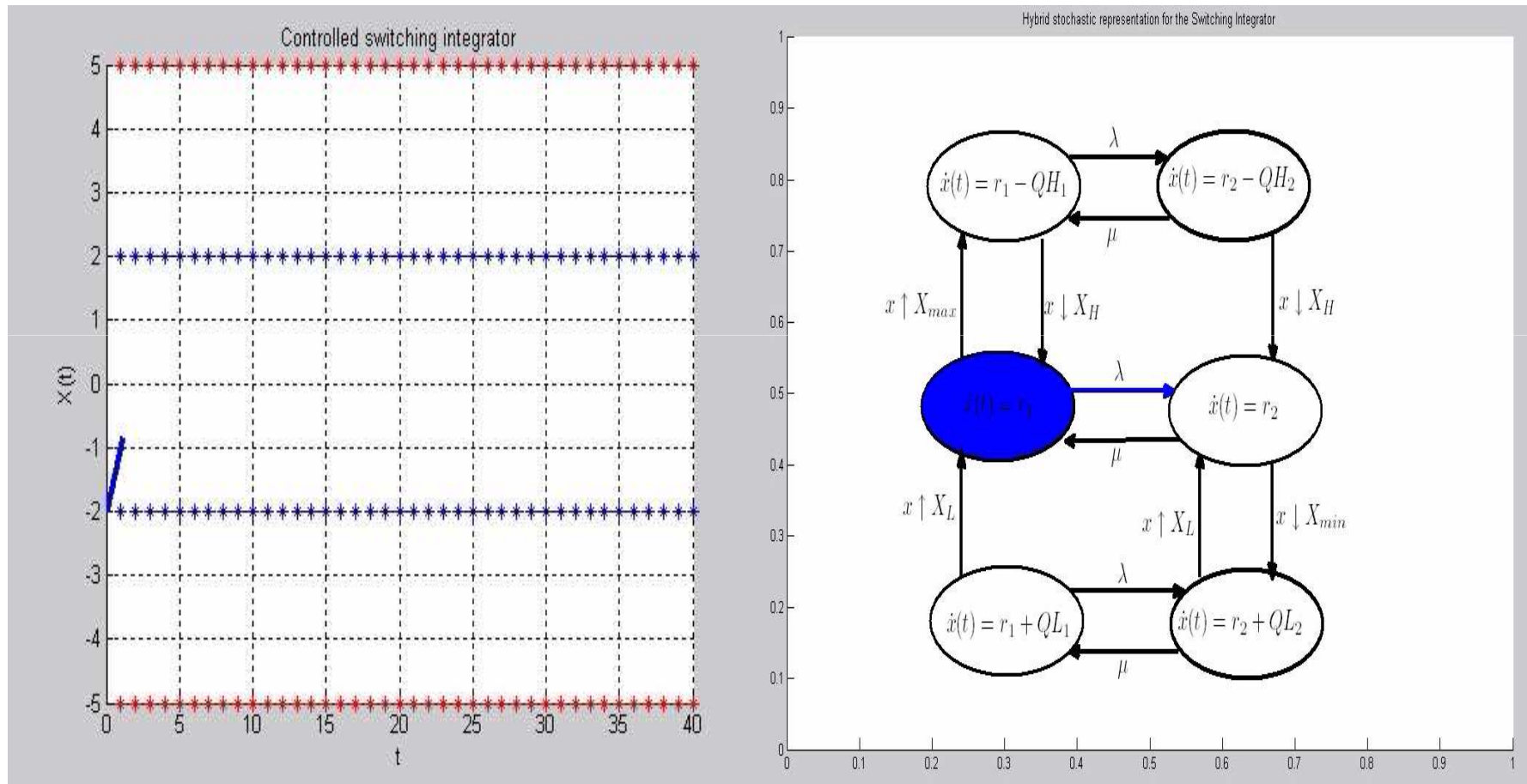
Intégrateur stochastique à commutation à deux états non-contrôlé



Nous observons le caractère aléatoire du système dans un temps de simulation assez court

2.2 – Exemples de Simulation événementielle

Intégrateur à commutation à deux états contrôlé



Plusieurs simulations sont nécessaires sur des longs temps de simulation longs

2.3 – Optimisation d'un critère quadratique par simulation

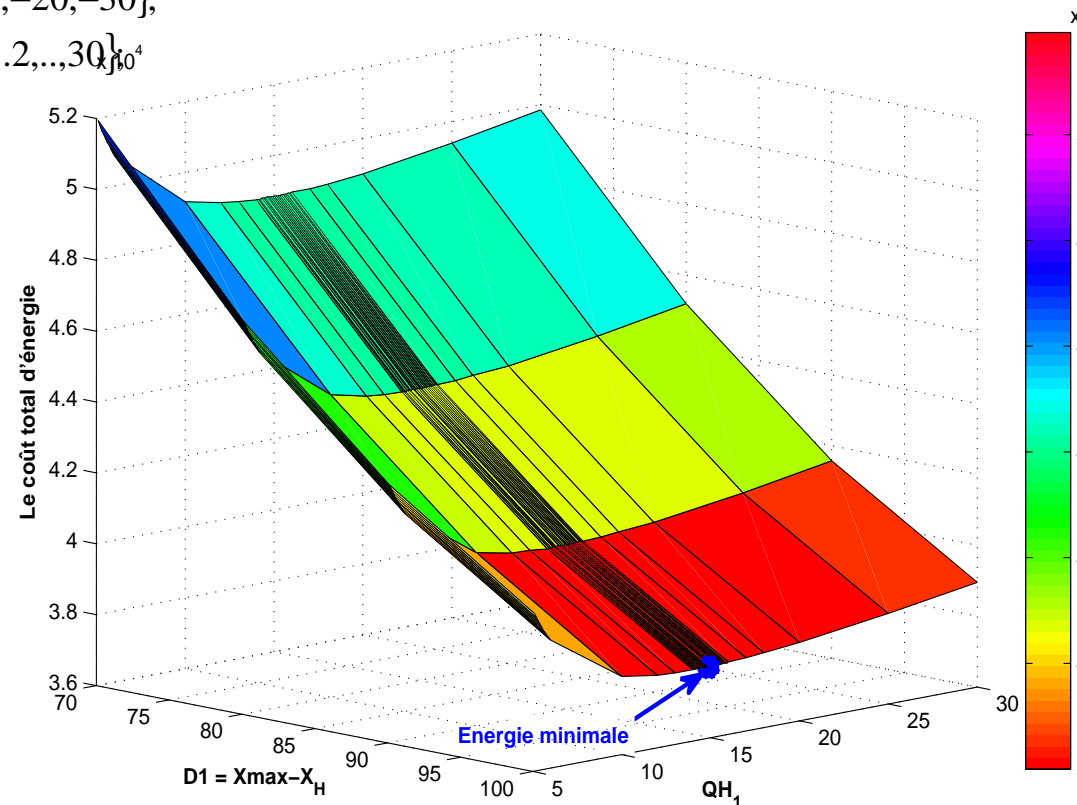
$N = 50.000$, $T_f = 5000$,

$r_1 = 5$, $r_2 = -5$, $\lambda_{12} = 0.4$, $\lambda_{21} = 0.6$,

$X_{\max} = 100$, $X_{\min} = -100$,

$X_H \in \{0, 10, 20, 30\}$; $X_L \in \{0, -10, -20, -30\}$;

$QH_1 = QH_2, QL_1 = QL_2 \in \{5, 10, 15, 20, 25, 30\} \cdot 10^4$



Energie minimale obtenue pour : $\{QH_{opt} = 14.9, X_{Hopt} = 0\}$

2.3 – Optimisation d'un critère quadratique par simulation

Intégrateur à commutation à quatre états

$$N = 50.000, T_f = 5000,$$

$$r_1 = 7, r_2 = -4, r_3 = 5, r_4 = -2,$$

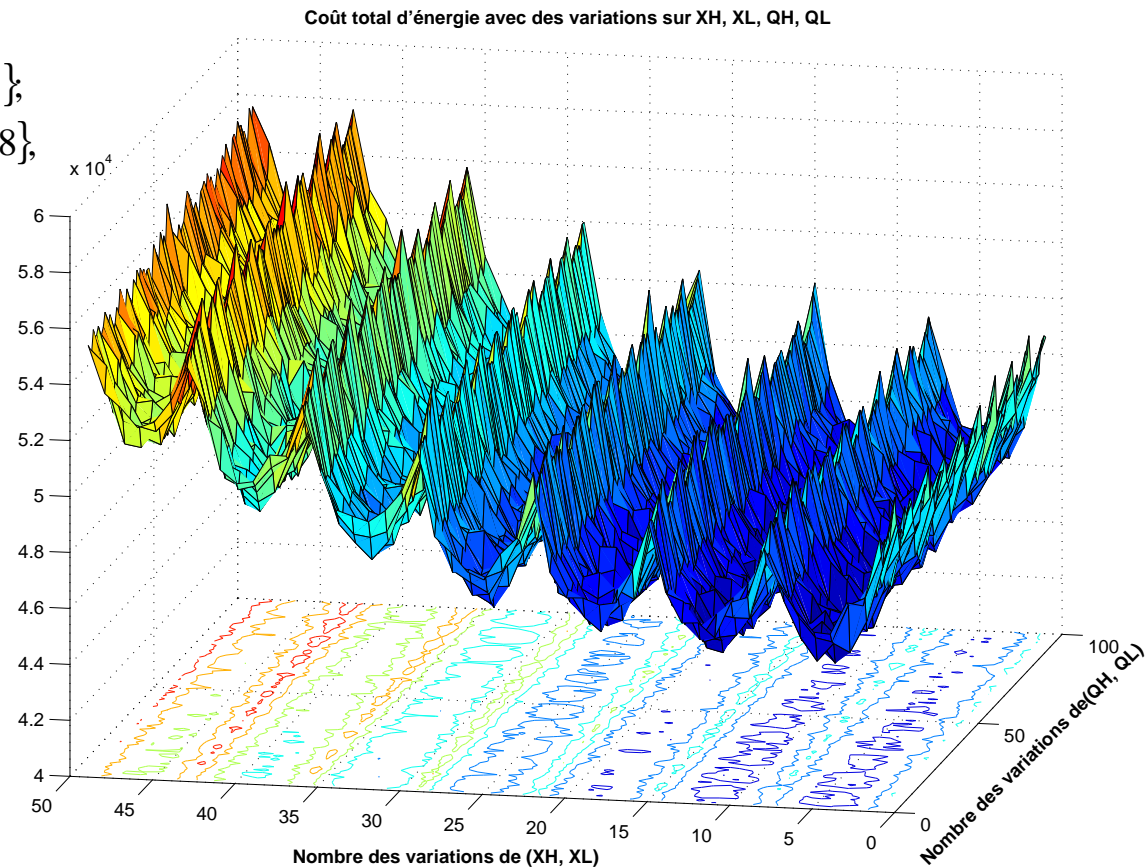
$$[X_{\min}, X_{\max}] = [0,1]$$

$$X_H \in \{0.9, 0.8, \dots, 0.3\}, X_L \in \{0.1, 0.2, \dots, 0.7\},$$

$$QH_1 = QH_2 = QH_3 = QH_4 \in \{7.1, 7.2, \dots, 8\},$$

$$QL_1 = QL_2 = QL_3 = QL_4 \in \{4.1, 4.2, \dots, 5\}$$

1 point = une paire
de paramètres



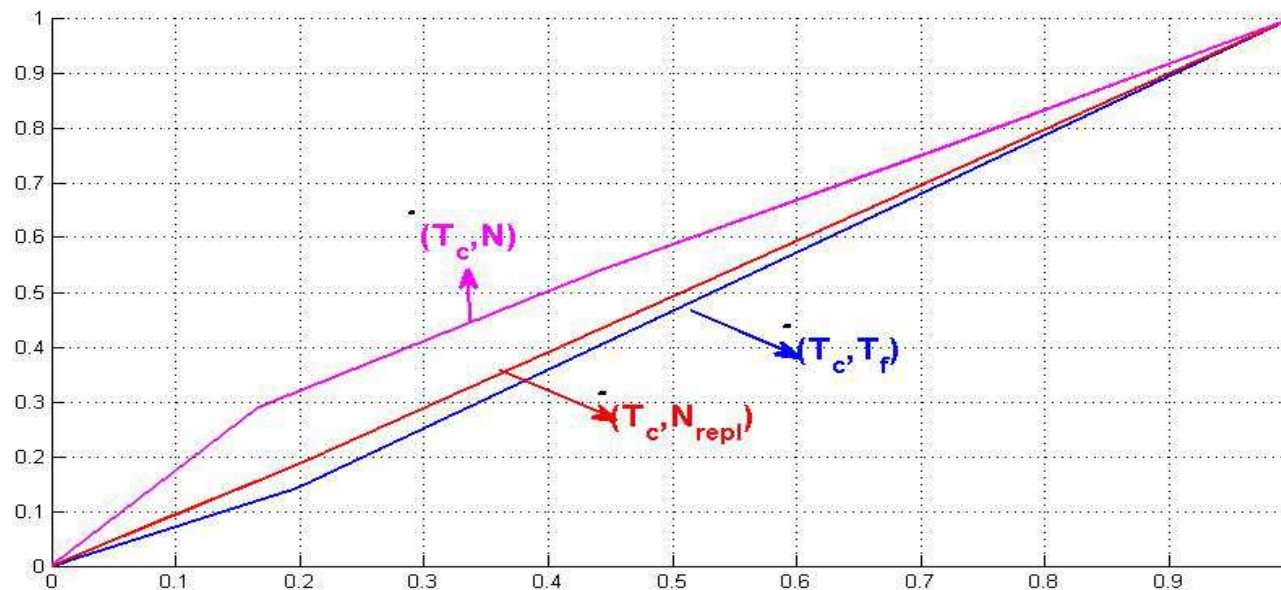
Energie minimale obtenue pour : $\{X_{Hopt} = 0.8, X_{Lopt} = 0.4, QH_{1opt} = 7.2, QL_{1opt} = 4.8\}$

2.3 – Optimisation d'un critère quadratique par simulation

Complexité de l'algorithme :

- Longueur de la simulation T_f
- Le nombre de simulations N_r
- Le nombres de modes du système N

➔ La durée du calcul $T_c = ?$



T_c par rapport à N

N	5	10	15	20	30
T_c	1.61[min]	2.7[min]	3.66[min]	4.66[min]	6.68[min]

$T_f=1000,$
 $N_r=1000$

Plan

1. Intégrateur stochastique à commutations
2. Optimisation par simulation à événements discrets
- 3. Modèle analytique d'énergie**
 - Energies
 - Moments d'ordre 2 de la variable d'état
 - Probabilités de scénarios
 - Temps de sortie
 - Temps de contrôle
4. Résultats
5. Conclusions et perspectives

Plan

1. Intégrateur stochastique à commutations
2. Optimisation par simulation à événements discrets
- 3. Modèle analytique d'énergie**
 - **Energies**
 - Moments d'ordre 2 de la variable d'état
 - Probabilités de sortie
 - Temps de sortie
 - Temps de contrôle
4. Résultats
5. Conclusions et perspectives

3 - Modèle analytique d'énergie

Critère quadratique de minimisation :

La minimisation globale de l'énergie du système repose sur la minimisation de l'énergie sur chaque **période de redémarrage**

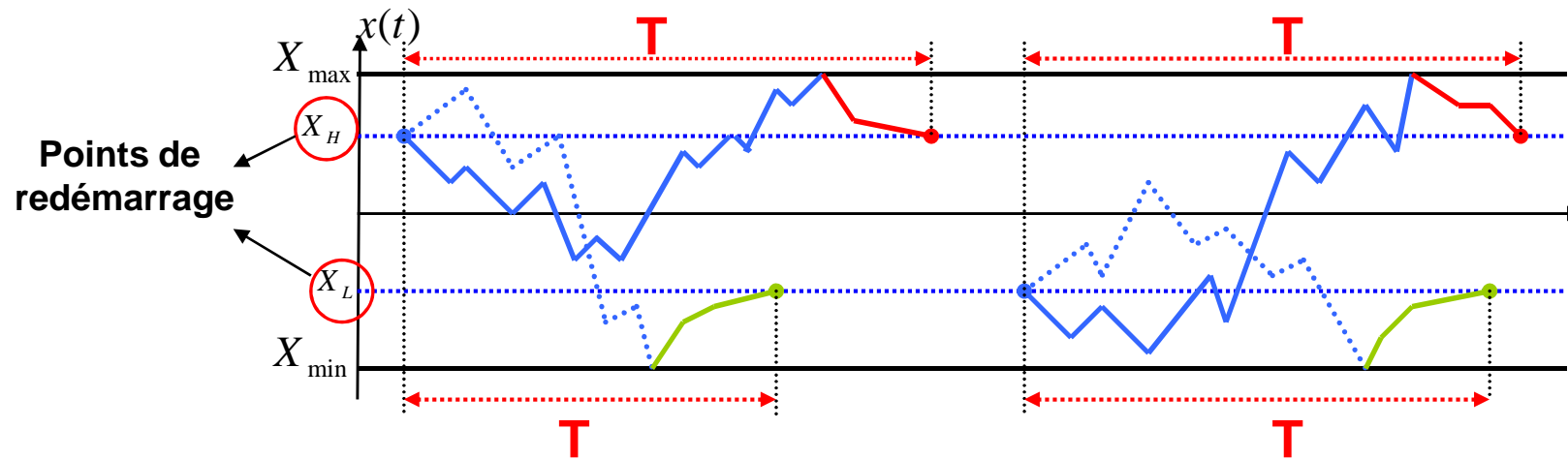
$$J = E \left(\underbrace{\int_0^T [q \cdot x^2(t)] dt}_{\text{?}} + \underbrace{r \cdot u^2(t)}_{\text{?}} \right), \quad q, r > 0$$

Moment d'ordre 2 de la variable d'état Energie consommée pour appliquer le contrôle

?

?

3 – Comportement périodique



La commande va forcer le système de retourner en X_H ou en X_L

Problème : $x(t)$ est un processus qui redémarre périodiquement en X_H et X_L

$T = \text{période de redémarrage}$

$$T = T_{\text{sans_contrôle}} + T_{\text{contrôle}}$$

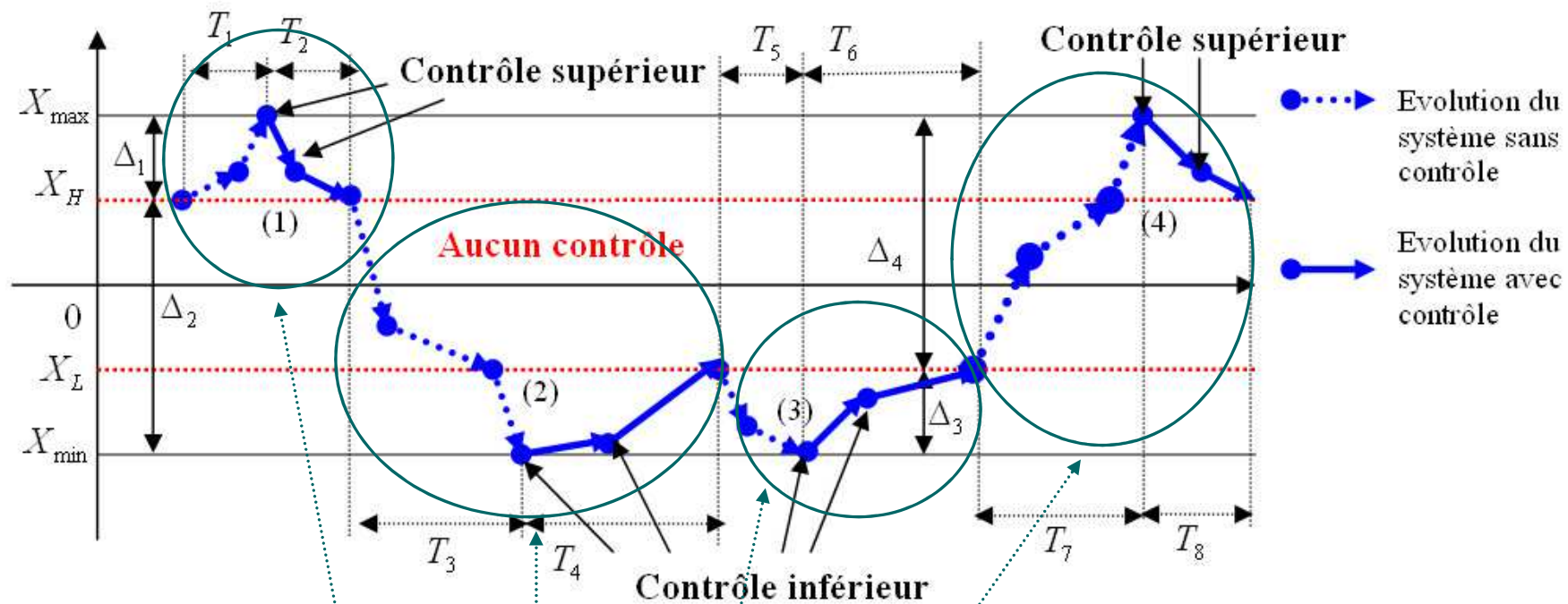
?

?

?

3 - Modèle analytique d'énergie

Scénarios d'évolution du système à partir de X_H et X_L



$$En_{tot}^j = p_1^j(E_1^j) + p_2^j(E_2^j) + p_3^j(E_3^j) + p_4^j(E_4^j)$$

Energie totale consommée dans un mode

$$\begin{cases} p_i^j = ? & i = \text{numéro de scénario } (i = 1, \dots, 4) \\ E_i^j = ? & j = \text{numéro de mode } (j = 1, \dots, N) \end{cases}$$

3 - Modèle analytique d'énergie

Energies

$$En_{tot}^j = p_1^j E_1^j + p_2^j E_2^j + p_3^j E_3^j + p_4^j E_4^j$$

Esperances d'énergies de contrôle:

$$e_1^j = \int_0^{T_2^j} QH_j^2 dt, \text{ HC} \rightarrow \text{NC}$$

$$e_2^j = \int_0^{T_4^j} QL_j^2 dt, \text{ LC} \rightarrow \text{NC}$$

Puissance de contrôle pour un état:

$$E_1^j = \frac{e_1^j}{T}; E_2^j = \frac{e_2^j}{T}; E_3^j = \frac{e_3^j}{T}; E_4^j = \frac{e_4^j}{T}$$

Puissance totale pour un état :

$$En_{tot}^j = p_1^j \frac{e_1^j}{T} + p_2^j \frac{e_2^j}{T} + p_3^j \frac{e_3^j}{T} + p_4^j \frac{e_4^j}{T}$$

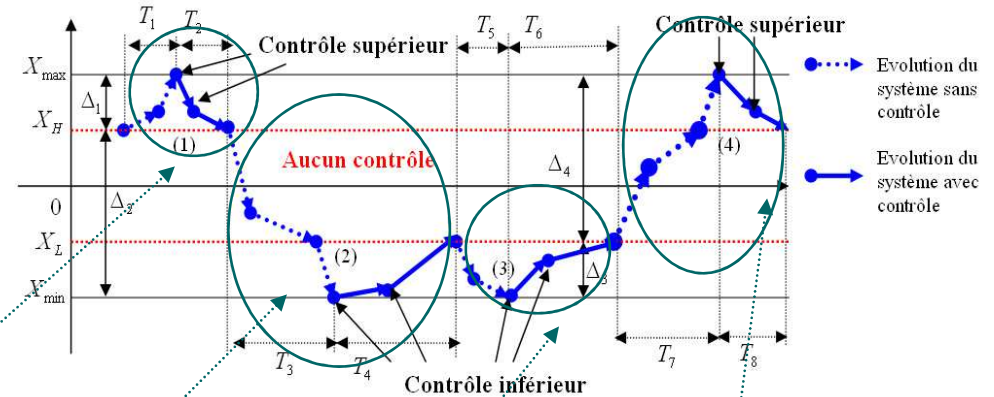
Puissance totale pour N états

$$En_{tot} = \sum_{j=1}^N \pi_j En_{tot}^j$$



Critère quadratique de minimisation :

$$J = q \cdot E[x^2(t)] + r \cdot En_{tot}$$



3 - Modèle analytique d'énergie

Comment calculer :

- les probabilités de chaque scénario : $p_1, p_2, p_3, p_4 = ?$
- les périodes de redémarrage : $T = T_{\text{sans_contrôle}} + T_{\text{contrôle}} ?$
 - les temps sans contrôle : $T_1, T_3, T_5, T_7 = ?$
 - les temps de contrôle : $T_2 = T_8, T_4 = T_6 = ?$
- le moment d'ordre 2 : $E\left(\int_0^T x^2(t) dt\right) = ?$
- l'énergie de contrôle : $E\left(\int_0^T u^2(t) dt\right) = ?$

Plan

1. Intégrateur stochastique à commutations
2. Simulation événementielle en temps continu
- 3. Modèle analytique d'énergie**
 - Energies
 - Moments d'ordre 2 de la variable d'état**
 - Probabilités de sortie
 - Temps de sortie
 - Temps de contrôle
4. Résultats
5. Conclusions et perspectives

3.1 - Modèle analytique d'énergie

$$J = qE\left(\int_0^T x^2(t) dt\right) + rE\left(\int_0^T u^2(t) dt\right), \quad q, r > 0$$

Energie de contrôle ?

Moment d'ordre 2 de la variable d'état = ?

[Pattipati et all,1995] – études de performabilité sur des systèmes de production

$$\frac{d \vec{m}_n(t)}{dt} = \vec{Q} \vec{m}_n(t) + n \cdot \vec{R} \cdot \vec{m}_{n-1}(t)$$

Générateur

R = matrice des taux de variation de **signe different!**

$$\vec{m}_2(T) = e^{\vec{Q}T} \cdot \vec{m}_2(0) + 2 \cdot \int_0^T e^{\vec{Q}(T-\tau)} \cdot \vec{R} \cdot \vec{m}_1(\tau) d\tau$$

Plan

1. Intégrateur stochastique à commutations
2. Simulation événementielle en temps continu
- 3. Modèle analytique d'énergie**
 - Energies
 - Moments de performabilité
 - Probabilités de scénarios**
 - Temps de sortie
 - Temps de contrôle
4. Résultats
5. Conclusions et perspectives

3.2 - Modèle analytique d'énergie

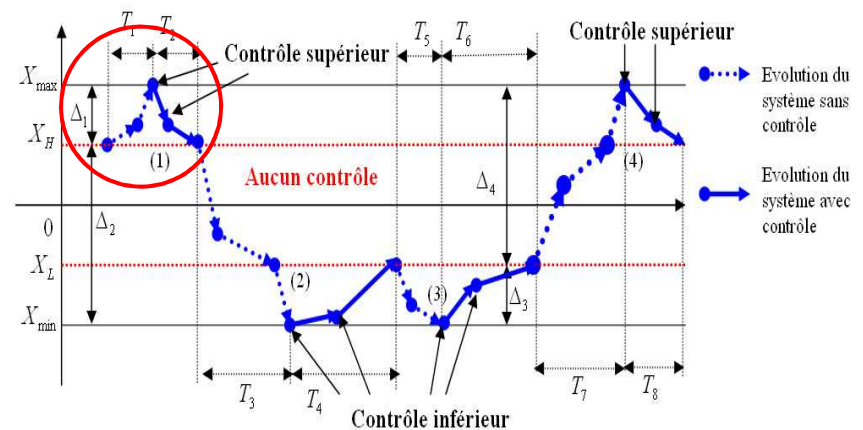
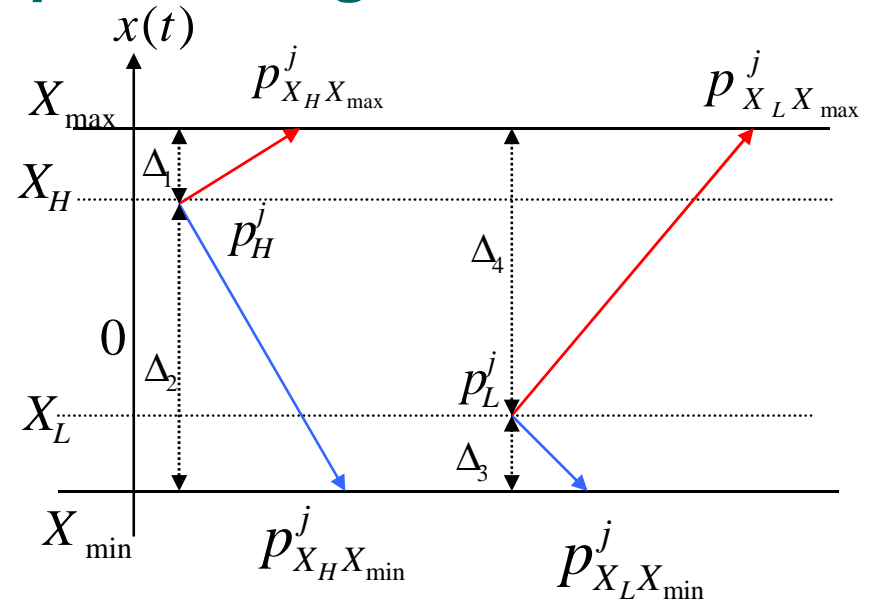
Probabilités de scénarios

$$En_{tot}^j = p_1^j E_1^j + p_2^j E_2^j + p_3^j E_3^j + p_4^j E_4^j$$

$p_{X_H X_{max}}^j$ = probabilité d'arriver à X_{max} en partant de X_H dans le mode j

p_H^j = probabilité que le système démarre en X_H

$p_1^j = p_H^j \cdot p_{X_H X_{max}}^j$ → probabilité que le système démarre en X_H avec la probabilité p_H^j



3.2 - Modèle analytique d'énergie

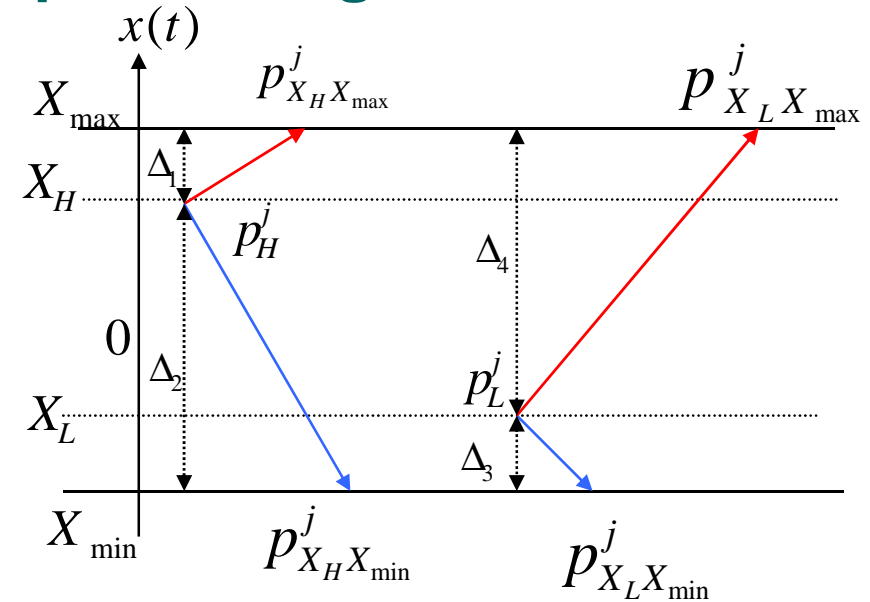
Probabilités de scénarios

Observation

$$\begin{cases} p_H^j = p_H^j \cdot p_{X_H X_{\max}}^j + p_L^j \cdot p_{X_L X_{\max}}^j \\ p_H^j + p_L^j = 1 \\ p_H^j = \frac{p_{X_L X_{\max}}^j}{p_{X_L X_{\max}}^j + p_{X_H X_{\min}}^j} \\ p_L^j = \frac{p_{X_H X_{\min}}^j}{p_{X_L X_{\max}}^j + p_{X_H X_{\min}}^j} \\ p_1^j = p_H^j p_{X_H X_{\max}}^j \end{cases}$$

Pour la suite, notons :

$$\begin{cases} \pi_{up}^j(X_H) = P_{X_H X_{\max}}^j \\ \pi_{up}^j(X_L) = P_{X_L X_{\max}}^j \end{cases}$$



3.2 - Modèle analytique d'énergie

Probabilités de scénarios

[Gardiner,2004]

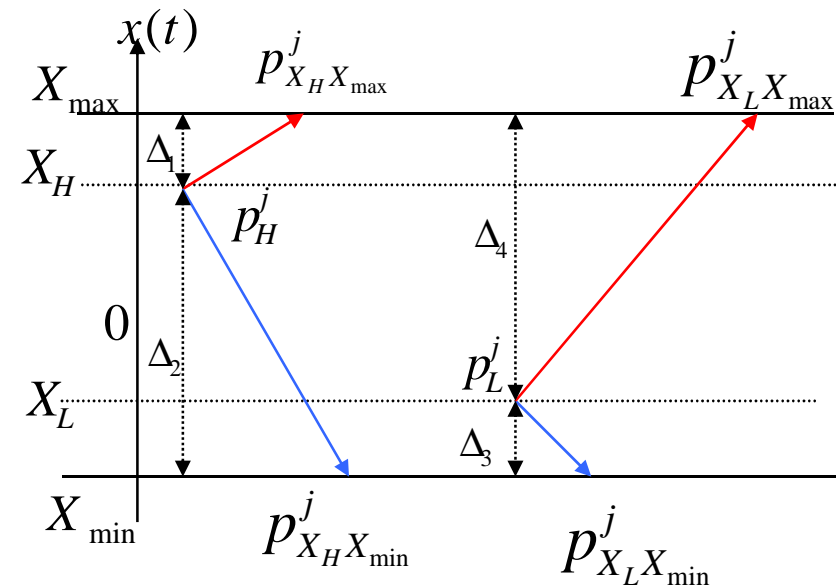
A partir des équations **Kolmogorov – arrière**

- sans termes de diffusion
- avec des commutations et ...

$$R \cdot \frac{d \vec{\pi}_{up}(x)}{dx} + Q^T \cdot \vec{\pi}_{up}(x) = 0$$

Vecteur de probabilités de sortie vers X_{\max}

- ... des conditions sur les frontières

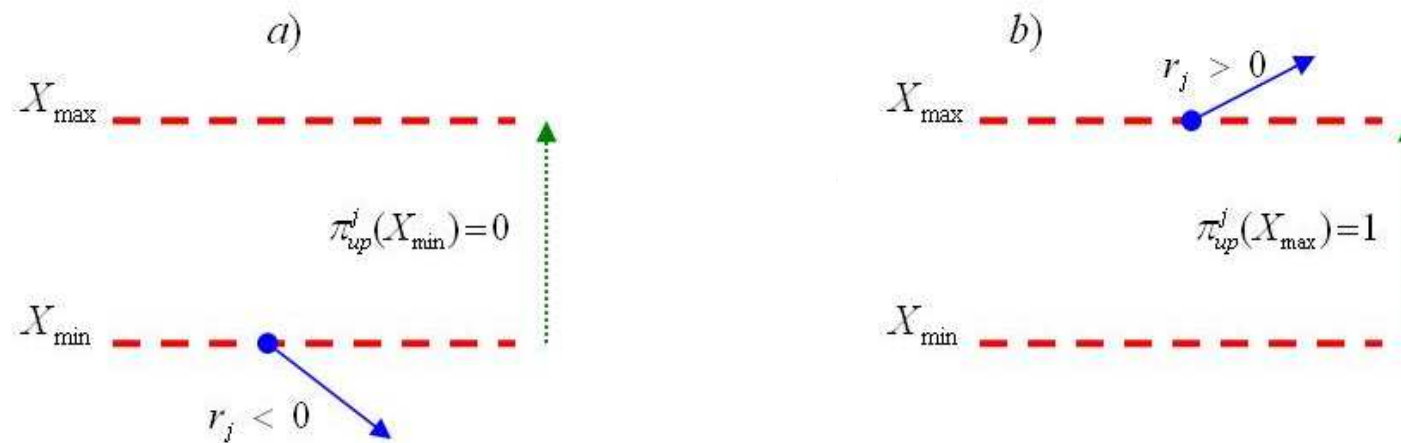


3.2 - Modèle analytique d'énergie

Probabilités de scénarios

Conditions aux limites :

$$\begin{cases} \pi_{up}^j(X_{\min}) = 0, \text{ si } r_j < 0 \\ \pi_{up}^j(X_{\max}) = 1, \text{ si } r_j > 0 \end{cases}$$



$$R \cdot \frac{d \vec{\pi}_{up}(x)}{dx} + Q^T \cdot \vec{\pi}_{up}(x) = 0 \Rightarrow \vec{\pi}_{up}(x) \Rightarrow p_{X_H} \Rightarrow p_1$$

Idem pour le vecteur de probabilités de sortie vers X_{\min}

3 - Modèle analytique d'énergie

Comment calculer :

- les probabilités de chaque scénario : $p_1, p_2, p_3, p_4 = ?$ 
- les périodes de redémarrage : $T = T_{\text{sans_contrôle}} + T_{\text{contrôle}} ?$
 - les temps sans contrôle: $T_1, \dots = ?$
 - les temps de contrôle : $T_2, \dots ?$
- le moment d'ordre 2 : $E\left(\int_0^T x^2(t)dt\right) = ?$
- l'énergie de contrôle : $E\left(\int_0^T u^2(t)dt\right) = ?$

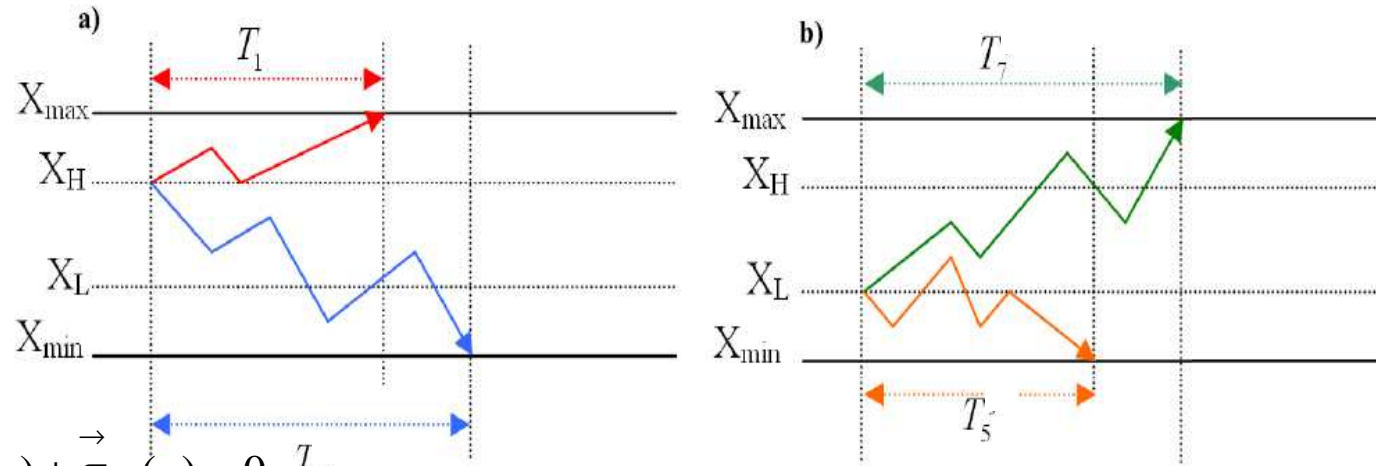
Plan

1. Intégrateur stochastique à commutations
2. Optimisation par simulation à événements discrets
- 3. Modèle analytique d'énergie**
 - Energies
 - Moments de performabilité
 - Probabilités de sortie
 - Temps sans contrôle**
 - Temps de contrôle
4. Résultats
5. Conclusions et perspectives

3.3 - Modèle analytique d'énergie

Temps de sortie de la zone de contrôle

Suite à l'analyse des équations des probabilités de sortie



$$R \cdot \frac{d\vec{\gamma}_{up}(x)}{dx} + Q^T \cdot \vec{\gamma}_{up}(x) + \vec{\pi}_{up}(x) = 0 \quad T_3$$

Obtenu précédemment

Vecteur de fonctions (temps - probabilité de sortie)

$$\vec{\gamma}_{up}^j(x) = \vec{\pi}_{up}^j(x) \cdot T_{up}^j(x)$$

✓ ✓

Conditions aux limites :

$$\begin{cases} \gamma_{up}^j(X_{\min}) = 0, \text{ si } r_j < 0 \\ \gamma_{up}^j(X_{\max}) = 0, \text{ si } r_j > 0 \end{cases}$$

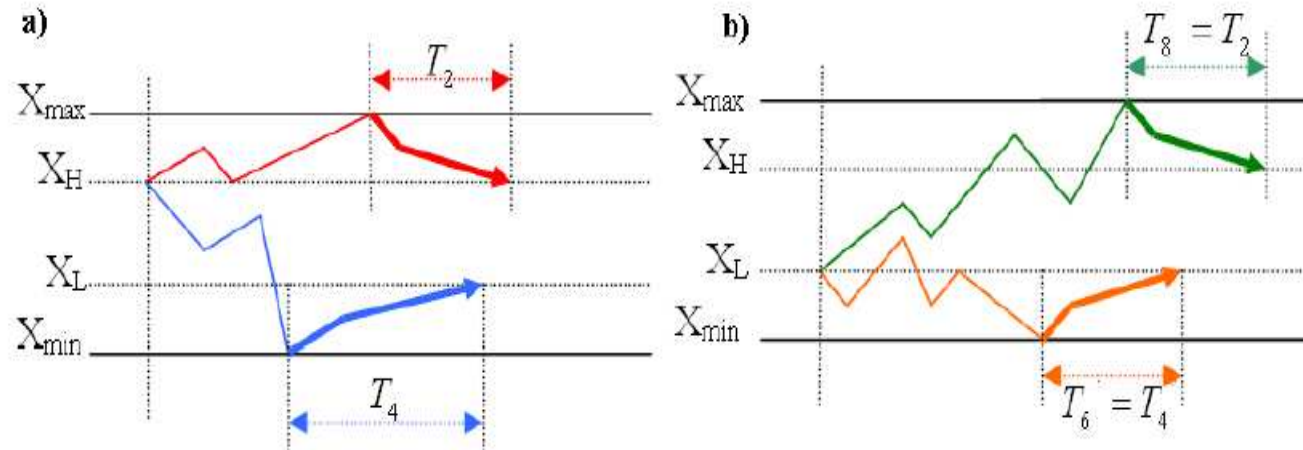
Idem pour la sortie vers Xmin

Plan

1. Intégrateur stochastique à commutations
2. Optimisation par simulation à événements discrets
- 3. Modèle analytique d'énergie**
 - Energies
 - Moments de performabilité
 - Probabilités de sortie
 - Temps de sortie
 - **Temps de contrôle**
4. Résultats
5. Conclusions et perspectives

3.4 - Modèle analytique d'énergie

Temps de contrôle



$$R_s \cdot \frac{d\vec{T}_2(x)}{dx} + Q^T \cdot \vec{T}_2(x) + \vec{\pi}_{o_{sup}}(x) = 0$$

→ Vecteur initial de probabilités de sortie de la zone de contrôle supérieur

→ Matrice des taux de transition avec contrôle (même signe)

→ Vecteur de temps de contrôle supérieur

Condition finale : $T_2(X_H) = 0$, si $x(t) \in [X_H, X_{max}]$

Idem pour le temps de contrôle inférieur

3 - Modèle analytique d'énergie

Comment calculer :

• les probabilités de chaque scénario : $p_1, p_2, p_3, p_4 = ?$



• les périodes de redémarrage : $T = T_{\text{sans_contrôle}} + T_{\text{contrôle}} ?$

• les temps sans contrôle: $T_1, \dots = ?$



• les temps de contrôle : $T_2, \dots ?$



• le moment d'ordre 2 : $E\left(\int_0^T x^2(t)dt\right) = ?$



• l'énergie de contrôle : $E\left(\int_0^T u^2(t)dt\right) = ?$



• coût quadratique : $J = E\left(\int_0^T [q \cdot x^2(t) + r \cdot u^2(t)]dt\right),$



Plan

1. Intégrateur stochastique à commutations
2. Optimisation par simulation à événements discrets
3. Modèle analytique d'énergie
- 4. Résultats**
5. Conclusions et perspectives

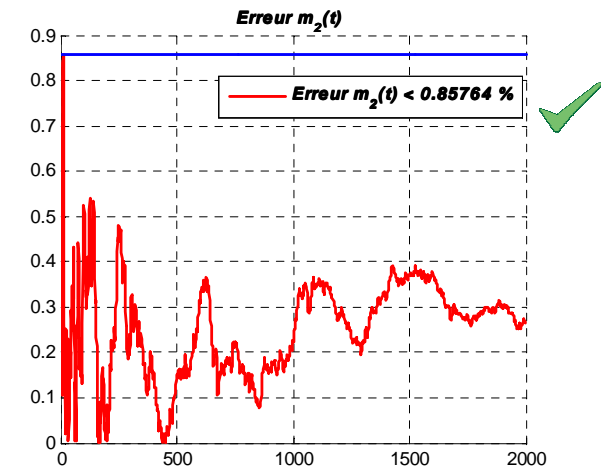
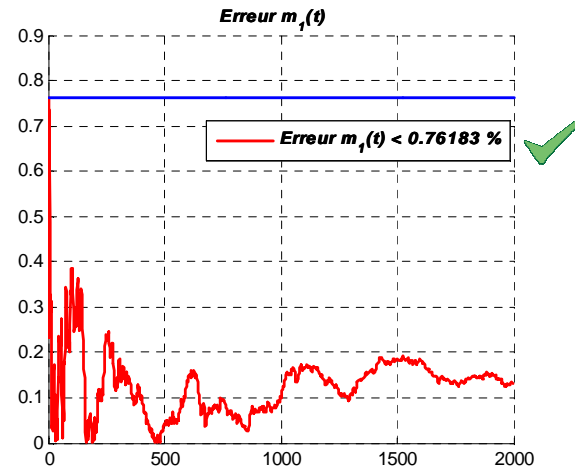
4.1 - Résultats

Moments d'ordre 2

ISC à deux états non - contrôlé :

$$\begin{cases} \dot{x}(t) = r_{Z(t)} \\ x(0) = x_0 \end{cases}$$

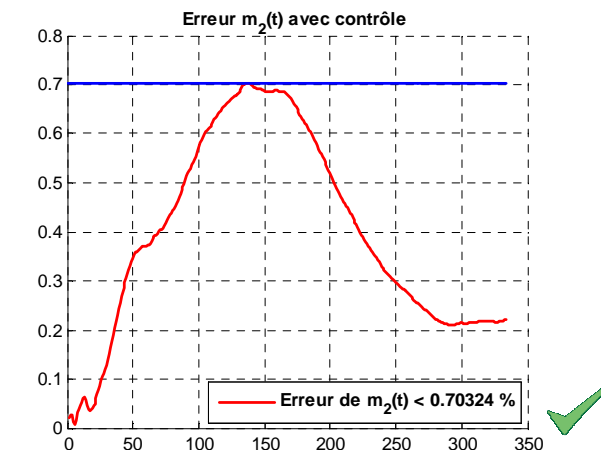
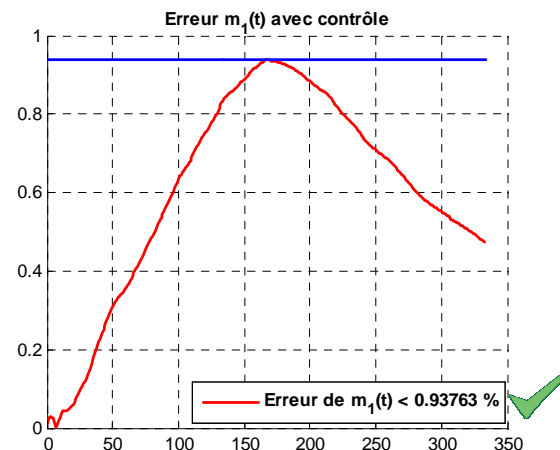
- les taux de variation $r_1 = 7, r_2 = -4$
- les taux de transition : $\lambda_{12} = 9, \lambda_{21} = 5$



ISC à deux états avec CBE

$$\begin{cases} \dot{x}(t) = r_{Z(t)} + u_{Z(t)}(x(t)) \\ x(0) = x_0 \end{cases}$$

- zone de contrôle : $[X_{\min}, X_{\max}] = [0, 1]$
 - points d'arrêt du contrôle : $[X_L, X_H] = [0.4, 0.8]$
 - les variables de contrôle :
- $QH_1 = 8, QH_2 = 0.5, QL_1 = 0.5, QL_2 = 5,$



4.2 - Résultats

Probabilités de scénarios :

Probabilités	Analytique	Simulation	Erreurs[%]
$\pi_{up}^1(X_H)$	0.8556	0.8550	0.0678
$\pi_{dw}^1(X_H)$	0.1144	0.1150	0.5217
$\pi_{up}^1(X_L)$	0.6586	0.6574	0.1670
$\pi_{up}^2(X_H)$	0.3414	0.3426	0.3503
$\pi_{dw}^1(X_L)$	0.4405	0.4393	0.2724
$\pi_{dw}^2(X_H)$	0.5595	0.5607	0.2140
$\pi_{up}^2(X_L)$	0.2170	0.2181	0.5044
$\pi_{dw}^2(X_L)$	0.7830	0.7819	0.1405

Erreurs < 0.52%



Temps sans contrôle :

Probabilités	Analytique	Simulation	Erreurs[%]
$T_{up}^1(X_L)$	0.1278	0.1276	0.1565
$T_{up}^2(X_L)$	0.1973	0.1974	0.0507
$T_{up}^1(X_H)$	0.0486	0.0482	0.8299
$T_{up}^2(X_H)$	0.1792	0.179	0.0116
$T_{dw}^1(X_L)$	0.2337	0.2344	0.2986
$T_{dw}^2(X_L)$	0.1335	0.1335	0
$T_{dw}^1(X_H)$	0.2829	0.2824	0.1771
$T_{dw}^2(X_H)$	0.2463	0.2457	0.2436

Erreurs < 0.82%



Temps totaux de contrôle :

Temps de contrôle	Analytique	Simulation	Erreurs[%]
$T_2 = T_8$	0.0819	0.0828	1.08
$T_4 = T_6$	0.1409	0.1425	1.12

Erreurs < 1.12%



4 - Résultats

Coût quadratique total :

Nr	r_1	r_2	λ_{12}	λ_{21}	$[X_{\min}, X_{\max}]$	$[X_L, X_H]$	QH_1, QH_2	QL_1, QL_2	Simulation	Analytique	Erreurs[%]
1	3	-2	0.4	0.6	[-10,10]	[-5,5]	4 1	1.08	107.59	107.71	0.11
2	5	-6	0.6	0.7	[-20,20]	[-10,10]	6 1	1.12	239.62	240.59	0.4



Difficultés numériques !

Zones de contrôle plus grandes

$$[X_{\min}, X_{\max}] = [-1000, 1000]$$

$$[X_L, X_H] = [-200, 200]$$

Temps de sortie

Analytique	Simulation	Erreurs[%]
2948	2931.7	0.55
4398	4392.3	0.12



Temps de contrôle

Analytique	Simulation	Erreurs[%]
139.7	216.0	35.34
304.6	202.87	33.4



WORK IN PROGRESS

Plan

1. Intégrateur stochastique à commutations
2. Optimisation par simulation à événements discrets
3. Modèle analytique d'énergie
4. Résultats
5. **Conclusions et perspectives**

Conclusion

Contributions :

- Analyse de SSC avec les Chaînes de Markov en temps continu
- Application du CBE pour un ISC – N modes
- Simulation événementielle en temps continu – benchmark pour des modèles analytiques
- Construction du modèle probabiliste d'énergie en utilisant les
 - Moments de performabilité
 - Probabilités de sortie
 - Temps de sortie
 - Temps de contrôle

Conclusion

Perspectives:

- Méthode d'approximation de calcul pour les probabilités et les temps de sortie/contrôle (afin d'éviter les problèmes numériques)
- Algorithme d'optimisation des paramètres de la commande en vue de la minimisation du critère quadratique
- Généralisation de l'approche analytique pour des SSC plus complexes

Je vous remercie pour votre attention !

Bibliographie

[Liberzon, Morse, 1999] D. Liberzon et A.S. Morse, “Basic Problems in Stability and Design of Switched Systems”, *IEEE Control Systems Magazine*, Oct 1999.

[Suri, R, Fu, 1991] On using continuous flow lines for permanence Estimation of discrete production lines, *Proc. Of 1991 Winter Simulation Conference, NJ*, 969-977

[Pattipati et all, 1995] Performability studies of automated manufacturing systems with multiple part types, *IEEE Transactions On Robotics and Automation*, 692-709

[Gardiner,2004] : Gardiner, C, Handbook of stochastic methods for physics, chemistry and the natural sciences, Springer Berlin

Annexes

4 - Résultats

Intégrateur stochastique à commutation à deux états :
$$\begin{cases} \dot{x}(t) = r_{Z(t)} + u_{Z(t)}(x(t)) \\ x(0) = x_0 \quad Z(t) \in \{1,2\} \end{cases}$$

Energies de contrôle :

Energies	Analytique	Simulation	Erreurs[%]
e_1^1	5.1278	5.1280	0.005
e_1^2	0.0001	0.0001	0
e_2^1	0.0002	0.0002	0
e_2^2	0.1792	0.179	0.0116
En_{tot}	11.6192	11.6158	0.02

Erreurs < 0.02%

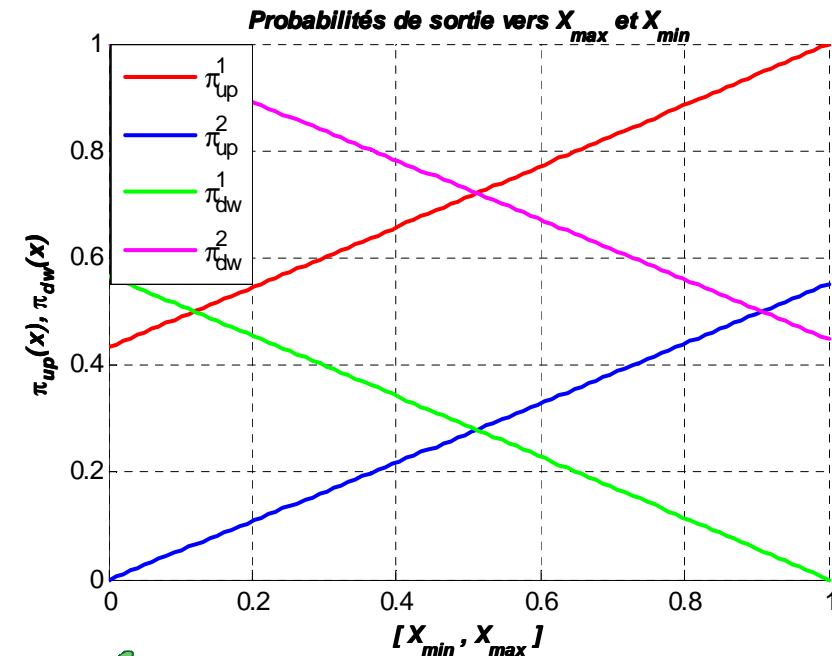


4.2 - Résultats

Probabilités de sortie de la zone de contrôle :

$$R \cdot \frac{d \vec{\pi}_{up}(x)}{dx} + Q^T \cdot \vec{\pi}_{up}(x) = 0$$

Probabilités	Analytique	Simulation	Erreurs[%]
$\pi_{up}^1(X_H)$	0.8556	0.8550	0.0678
$\pi_{dw}^1(X_H)$	0.1144	0.1150	0.5217
$\pi_{up}^1(X_L)$	0.6586	0.6574	0.1670
$\pi_{up}^2(X_H)$	0.3414	0.3426	0.3503
$\pi_{dw}^1(X_L)$	0.4405	0.4393	0.2724
$\pi_{dw}^2(X_H)$	0.5595	0.5607	0.2140
$\pi_{up}^2(X_L)$	0.2170	0.2181	0.5044
$\pi_{dw}^2(X_L)$	0.7830	0.7819	0.1405



Erreurs < 0.52%



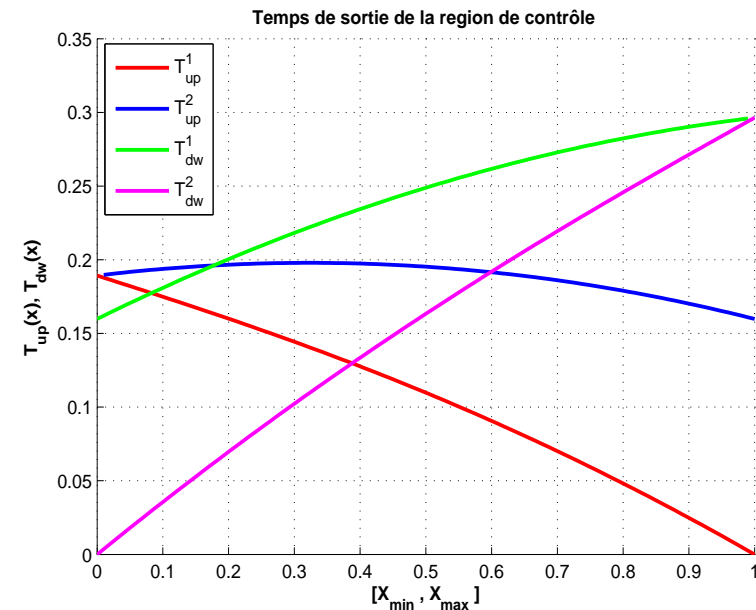
4.3 - Résultats

Temps de sortie de la zone de contrôle :

$$R \cdot \frac{d \vec{\gamma}_{up}(x)}{dx} + Q^T \cdot \vec{\gamma}_{up}(x) + \vec{\pi}_{up}(x) = 0$$

$$\gamma_{up}^j(x) = \pi_{up}^j(x) \cdot T_{up}^j(x)$$

Probabilités	Analytique	Simulation	Erreurs[%]
$T_{up}^1(X_L)$	0.1278	0.1276	0.1565
$T_{up}^2(X_L)$	0.1973	0.1974	0.0507
$T_{up}^1(X_H)$	0.0486	0.0482	0.8299
$T_{up}^2(X_H)$	0.1792	0.179	0.0116
$T_{dw}^1(X_L)$	0.2337	0.2344	0.2986
$T_{dw}^2(X_L)$	0.1335	0.1335	0
$T_{dw}^1(X_H)$	0.2829	0.2824	0.1771
$T_{dw}^2(X_H)$	0.2463	0.2457	0.2436



Erreurs < 0.82%

